

硬質土の過圧密比とK<sub>0</sub>値について

西日本工業大学 正員 ○岸原一哉  
福岡県行橋土木事務所 与田 稔  
北九州市 辻康彦・吉田春彦・北条康則・木原弘毅

1. 緒言

構造物が大型化、重量化するに伴って硬質土や堆積状岩の変形や強度に関する情報が必要とされる機会が増えた。繰返し作用やセメント化をうけた地盤材料はある意味で過圧密土の一種と考えることができる。本文では、侵食や風化などの地質学的履歴を受けたにもかかわらず、長時間圧密によって過圧密状態に至った材料が通常の過圧密土(応力解放による)と同等の取扱いか可能かどうかについて論じたものである。

2. 長時間圧密をうけた地盤材料の過圧密比

図-1は堆積が終り、一定の土被り圧のもとで長時間圧密をうけたある深さの土要素が、その後載荷重により引き続き沈下を生じる様子を模式的に示したものである。

堆積終了時刻 $t_0$ のR点における含水比 $w_0$ が液性限界 $w_L$ にほぼ近いという仮定を設けるとR点における間隙比 $e_0$ は、ほぼ次式で表わせよう。

$$e_0 = w_0 G_s / 100 \div w_L G_s / 100 \quad (1)$$

従って、長時間圧密によるRQ間の間隙比変化量は

$$\Delta e = e_0 - e_1 = G_s (w_0 - w_1) / 100 \quad (2)$$

一方、この材料の二次圧密係数を $C_\alpha (= de/d \log t)$ とすれば、上式は

$$\Delta e_s = C_\alpha \log (t_1 / t_0) \quad \text{---- (3)}$$

と等価となるはずである。よって、式(2)、式(3)から

$$\frac{t_1}{t_0} = \exp \left[ \frac{G_s (w_0 - w_1)}{43.4 C_\alpha} \right] \quad \text{---- (4)}$$

が得られる。

ところで、ある土被りのもとで長時間圧密をうけた土は一般に、図-1に示すように土被り圧よりも大きな圧密降伏応力 $p'_y$ を有する。よって、このときの過圧密比 $n$ は

$$n = \frac{p'_y}{p'_0} = \alpha \left( \frac{t_1}{t_0} \right)^{R / (1 - \lambda_r)} \quad \text{--- (5)}$$

ここで、

- R:  $C_\alpha / C_c$
- $\lambda_r$ :  $C_r / C_c$  ( $C_r$ : 再圧縮指数)
- $\alpha$ : セメント化効果を不定数

式(4)を式(5)へ代入すると、堆積年代 $t_0$ の関係は

$$n = \alpha \cdot \exp \left[ \frac{G_s (w_0 - w_1)}{43.4 C_c (1 - \lambda_r)} \right] \quad (6)$$

により与えられることになる。

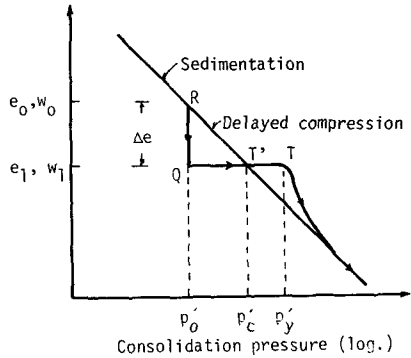


図-1 長時間圧密をうけた土のe-log p曲線

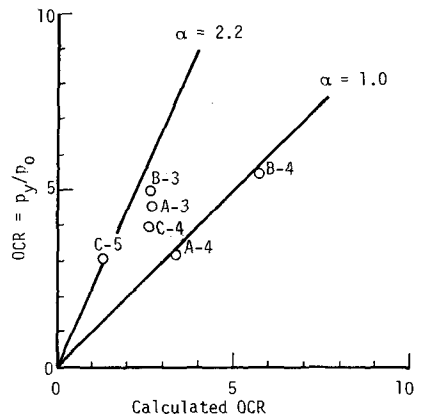


図-2 計算による過圧密比と実測値との比較

さて、式(6)で与えられる過圧密比と圧密試験から類推される  $P_0/p_0'$  とはどのような関係にあるであろうか。図-2は表-1に示されるおの性質を有する乱れのない泥岩についてこれを確かめたものである。式(6)に含まれる方法が今のところないが、図-2の場合、 $\lambda = 1.0 \sim 2.2$  に収まっている。

表-1 試料の特性

試料番号	A-3	B-3	A-4	B-4	C-4	C-5
深度(cm)	15.15	15.30	19.80	19.80	19.80	23.30
粘土分(%)	27.5	30.0	37.0	17.5	43.0	21.0
液性限界(%)	56.0	47.0	63.4	37.6	72.3	36.2
塑性指数	35.3	26.1	37.2	13.9	40.4	17.7
土質分類	粘土質ロ- $\mu$	粘土	シルト質粘土	ロ- $\mu$	粘土	砂質粘土ロ- $\mu$
土粒子の集まり $G_s$	2.70	2.70	2.68	2.70	2.70	2.71
自然含水比(%)	44.3	38.5	39.1	28.6	61.7	36.0
単位重量(%)	1.75	1.80	1.79	1.91	1.62	1.83

3. 長時間圧密をかけた地盤材料の強度

膨張による過圧密工の非排水せん断強度と正規圧密工の強度を与える次式<sup>2)</sup>

$$\frac{(C_u/p)_{OC}}{(C_u/p)_{NC}} = m \lambda^{\alpha} \text{ ----- (9)}$$

が長時間圧密をかけた土についても共通するならば

$$(C_u)_{OC} = m p_0' \lambda^{\alpha} \text{ ----- (8)}$$

となることは容易にわかる。式(9), (8)より、

$\lambda$ : 実験定数,  $m$ : 正規圧密工の強度増加比である。また,  $OC$  は過圧密,  $NC$  は正規圧密を意味している。式(9)に式(5)を代入すると過圧密土の強度が求められることになる。

4. 長時間圧密をかけた地盤材料の  $K_0$  値

除荷に伴う過圧密土の  $K_0$  値については比較的多くの研究があり、正規圧密土の値と対応させて Mayne<sup>3)</sup> は

$$K_0^{(OC)} = (1 - \sin \phi') (\overline{OCR})^{\sin \phi'} \text{ ----- (9)}$$

なる形をまとめている。本来、しかし、この式は  $K_0^{(OC)}/K_0^{(NC)} = (\overline{OCR})^{\alpha_0}$  ( $\alpha_0$ : 実験定数) を発展させたもので長時間圧密をかけた土の  $K_0$  値の推測には用いることはできない。Mayne はこの式(9)とは別に載荷時にあける過圧密土の  $K_0$  値を評価する方法として次式を提案している。これはこれを用いる方が合理的であろう。

$$K_0^{(OC)} = (1 - \sin \phi') \left[ \frac{\overline{OCR}}{(\overline{OCR})_{max}} + \frac{3}{4} \left( 1 - \frac{\overline{OCR}}{(\overline{OCR})_{max}} \right) \right] \text{ ----- (10)}$$

長時間圧密をかけた土は、応力解放の履歴は  $T&U$  の  $\overline{OCR}_{max} = 1.0$  と考えられる。よって上式は

$$K_0^{(OC)} = \frac{1}{4} (1 - \sin \phi') (\overline{OCR} + 3) \text{ ----- (11)}$$

と随分簡単になる。上式の  $\overline{OCR}$  に式(6)が用いられるなら、目的とする擬似過圧密土の  $K_0$  値が予測可能であろう。

5. 系言

極めて大胆な仮定を設けて硬質土や軟岩の力学的性質を予測する試みを行ってみた。土や岩石は複雑な履歴を過去に受けているので、このような試みがそのまま実際の設計や予測に適用できるとは思えない。しかし、何か未知数の多い軟岩の力学挙動を明らかにする上で何かの手掛りとなるのではないかと期待している。そのために、まずここで示した式(6), (8), (11)の適用性を室内試験のレベルで確かめねばならない。なお、本文における実験データは応用地質調査事務所 岩崎恒明に提供し載せた。併せて謝意を表す。

引用文献

1) Murakami, Y. (1980): A method for estimating the consolidation of a normally consolidated clay of some age, Soils and Foundations, Vol. 20, No. 4, pp. 83-93.  
 2) Mayne, P.W. (1980): Cam-Clay prediction of undrained strength, Proc. ASCE, Vol. 108, No. GT 11, pp. 1219-1242.  
 3) Mayne, P.W. and F.H. Kulhawy (1982):  $K_0$ -OCR relationship in soil, Proc. ASCE, Vol. 108, No. GT 6, pp. 851-872.